

ФИЗИКА
ЗЕМЛИ
№ 6 · 1992

УДК 550.837.211

© 1992 г. М.Н. БЕРДИЧЕВСКИЙ, Д.С. КОЛДАЕВ, А.Г. ЯКОВЛЕВ

МАГНИТОТЕЛЛУРИЧЕСКОЕ ЗОНДИРОВАНИЕ НА БЕРЕГУ ОКЕАНА

Рассмотрены две характерные модели океанического берега, исследована чувствительность МТЗ к проводящим слоям в континентальной коре и мантии, показана необходимость бимодальной интерпретации прибрежных МТЗ, описан алгоритм бимодальной интерпретации, предложенной В.И. Дмитриевым.

Введение. На берегу океана соприкасаются среды, сопротивление которых может различаться на несколько порядков. Прибрежная вода, имеющая сопротивление около $0,3 \text{ Ом} \cdot \text{м}$, омывает осадочные или кристаллические породы континента, сопротивление которых составляет десятки, сотни и даже тысячи омметров. Такой контраст сопротивлений порождает мощную аномалию геоэлектромагнитного поля, которая получила название берегового эффекта. Береговой эффект вносит сильные искажения в результаты магнитотеллурических зондирований (МТЗ), выполненных в прибрежной зоне. Примеры таких искажений можно найти в [1–5]. В настоящей статье мы хотим провести модельный анализ прибрежных МТЗ и обсудить их стратегию. Мы рассмотрим две характерные модели Океан – Континент (О–К).

Модели Океан – Континент: О–К/к и О–К/м. Эти двумерные модели имеют одинаковые океанические и различные континентальные разрезы. Их параметры указаны в таблице.

В океане хорошо проводящий водный слой покрывает высокоомную литосферу, которая лежит на проводящем основании, имитирующем низкоомную мантию.

На континенте проводящий осадочный чехол подстилается высокоомной корой. В модели О–К/к земная кора содержит проводящий слой (к). В модели О–К/м коровой проводник сплавляется с мощным мантийным проводником (м).

Параметры моделей О–К/к и О–К/м

Океанический разрез	Континентальный разрез	
	Модель О–К/к	Модель О–К/м
Водный слой $\rho_1 = 0,3 \text{ Ом} \cdot \text{м}, h_1 = 3 \text{ км}$	Осадочный чехол $\rho_1 = 20 \text{ Ом} \cdot \text{м}, h_1 = 1 \text{ км}$	Осадочный чехол $\rho_1 = 20 \text{ Ом} \cdot \text{м}, h_1 = 1 \text{ км}$
Высокоомная литосфера $\rho_2 = 10^4 \text{ Ом} \cdot \text{м}, h_2 = 127 \text{ км}$	Высокоомная кора $\rho_2 = 2 \cdot 10^4 \text{ Ом} \cdot \text{м}, h_2 = 15 \text{ км}$ Коровый проводящий слой $\rho_3 = 50 \text{ Ом} \cdot \text{м}, h_3 = 10 \text{ км}$ Высокоомная кора и мантия $\rho_4 = 10^3 \text{ Ом} \cdot \text{м}, h_4 = 104 \text{ км}$	Высокоомная кора $\rho_2 = 2 \cdot 10^4 \text{ Ом} \cdot \text{м}, h_2 = 15 \text{ км}$ Коромантийный проводящий слой $\rho_3 = 50 \text{ Ом} \cdot \text{м}, h_3 = 114 \text{ км}$ м!
Низкоомная мантия $\rho_5 = 1 \text{ Ом} \cdot \text{м}$	Низкоомная мантия $\rho_5 = 1 \text{ Ом} \cdot \text{м}$	Низкоомная мантия $\rho_4 = 1 \text{ Ом} \cdot \text{м}$

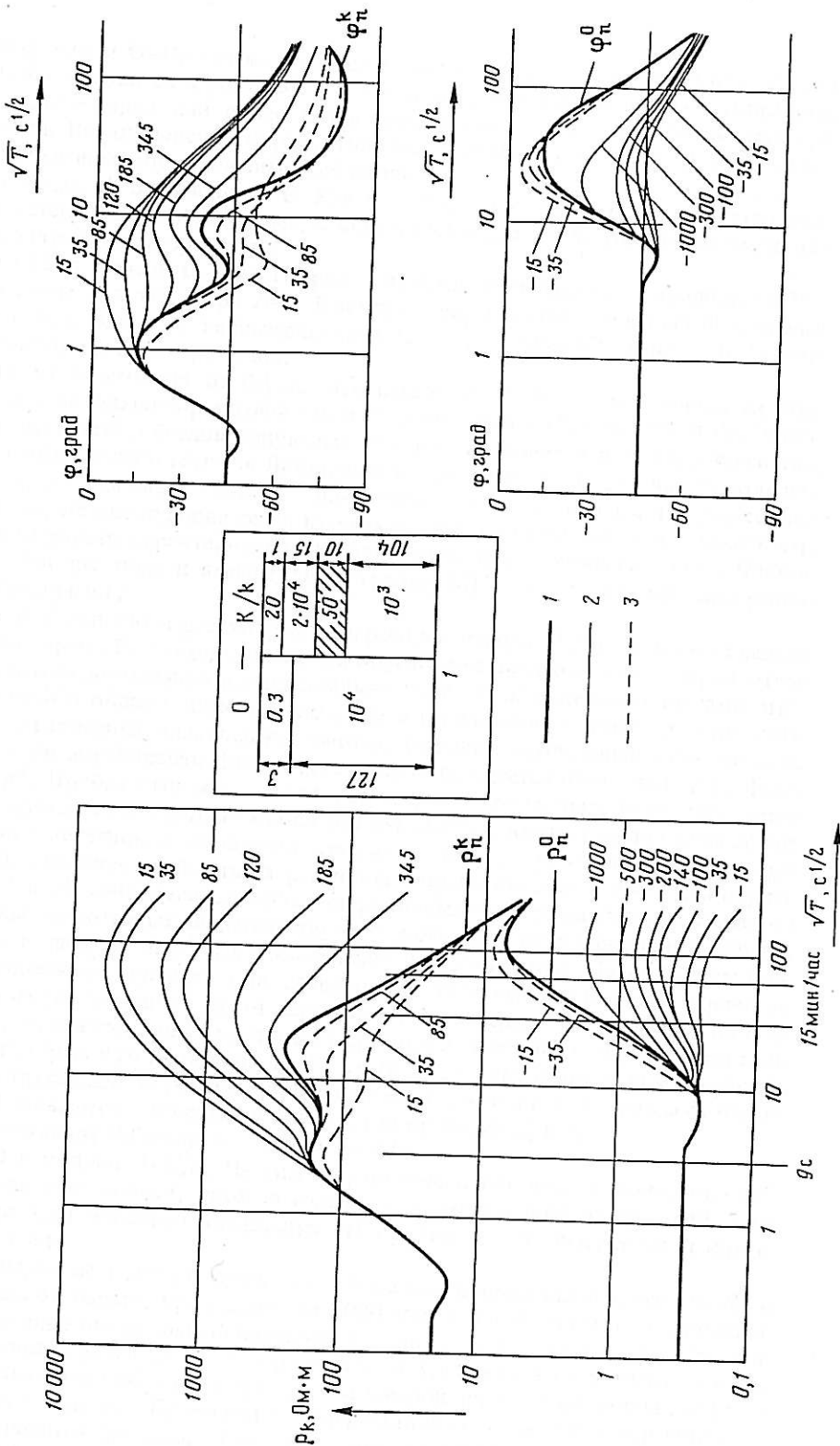


Рис. 1. Амплитудные и фазовые кривые в модели МТЗ в модель О-К/к: 1 – локально-нормальные, 2 – поперечные, 3 – продольные. Шифр кривых – удельные сопротивления слоев в Ω_m от берега в км: положительное – для континентальных кривых, отрицательное – для океанических кривых. Разрез модели изображен в центре рисунка: толщины слоев – в км.

Модели О-К/к и О-К/м отражают существенно различные геологические ситуации. Модель О-К/к относится к регионам, в земной коре которых благодаря дегидратации кристаллических пород или присутствию графитистых образований возникают проводящие слои. Возникновение коромантийного проводника в модели О-К/к можно связать с разогревом, обусловленным субдукцией.

Расчет кривых МТЗ в моделях О-К/к и О-К/м проведен с помощью программы Варенцова – Голубева, использующей метод конечных разностей [6]. Перейдем к рассмотрению полученных результатов.

Кривые МТЗ в модели О-К/к. На рис. 1 приведены поперечные и продольные МТ-кривые, которые получены при *H*- и *E*-поляризации в модели, содержащей коровый проводящий слой. Здесь же изображены локально-нормальные МТ-кривые для океанического и континентального разрезов.

В океане, на расстоянии от берега, превышающем 3000 км, поперечные кривые ρ^{\perp} сливаются с локально-нормальной океанической кривой ρ_n^0 . Они имеют протяженную восходящую ветвь, обусловленную высокоомной литосферой, и нисходящую ветвь, отражающую низкоомную мантию. Двигаясь к континенту, мы видим, что восходящие ветви кривых ρ^{\perp} выпадают, а нисходящие смещаются вниз. На расстоянии 15–35 км от берега восходящие ветви кривых исчезают, оставляя легкую волнистость. Трех же закономерности характерны для фазовых кривых φ^{\perp} (напомним, что в *H*-поляризованном поле фазовые и амплитудные кривые МТЗ жестко связаны дисперсионными соотношениями).

Перейдем на континент и рассмотрим поперечную кривую ρ^{\perp} , полученную на расстоянии 15 км от берега. Ее восходящая ветвь, обусловленная высокоомной корой, отрывается от локально-нормальной континентальной кривой ρ_n^k и, не меняя наклона, продолжается далеко в область низких частот, где в конце концов замыкается нисходящей ветвью, отражающей низкоомную мантию. Коровый проводящий слой здесь не проявляется – он экранирован. Его существование не удается обнаружить и по фазовой кривой φ^{\perp} . Прибрежная зона, в которой коровый проводник более или менее сильно экранируется, имеет ширину около 100 км. Лишь за пределами этой зоны возникают отчетливые перегибы и минимумы кривых ρ^{\perp} и φ^{\perp} , отражающие коровый проводящий слой. Удаляясь от берега на расстояния, превышающие 750 км, мы видим, как кривые ρ^{\perp} и φ^{\perp} сливаются с локально-нормальными континентальными кривыми ρ_n^k и φ_n^k , минимумы которых свидетельствуют о существовании корового проводника.

Продольные кривые ρ^{\parallel} и φ^{\parallel} дают совершенно другую картину. Почти на всем протяжении океанического профиля они сливаются с локально-нормальными кривыми ρ_n^0 и φ_n^0 . Лишь на расстоянии 15 км от берега они незначительно искажаются – их восходящие ветви становятся более крутыми. Переходя на континент, мы получаем кривые ρ^{\parallel} и φ^{\parallel} , которые уже на расстоянии 15 км от берега имеют отчетливые перегибы и минимумы, отражающие коровый проводящий слой. На расстоянии 100 км от берега кривые ρ^{\parallel} и φ^{\parallel} сливаются с локально-нормальными кривыми ρ_n^k и φ_n^k .

Аналогично выглядят МТ-кривые в модели О-К/м.

Кривые МТЗ в модели О-К/м. На рис. 2 приведены поперечные и продольные МТ-кривые, полученные в модели, которая содержит коромантийный проводящий слой. Здесь же изображены локально-нормальные МТ-кривые для океанического и континентального разрезов.

В океане поперечные кривые сливаются с локально-нормальными кривыми ρ_n^0 и φ_n^0 на расстоянии от берега, превышающем 3000 км. Вблизи берега их восходящие ветви, обусловленные высокоомной литосферой, выпадают и исчезают. На континенте прибрежные кривые ρ^{\perp} и φ^{\perp} представлены удлиненной восходящей ветвью, обусловленной высокоомной литосферой, и смещенной нисходящей ветвью, отражающей низкоомную мантию. Проводящий коромантийный слой здесь экранируется. Его влияние становится заметно, когда расстояние от берега составляет 50–100 км. Кривые ρ^{\perp} и φ^{\perp} сливаются с локально-нормальными континентальными кривыми, когда расстояние от берега превышает 750 км.

Океанические продольные кривые почти не искажены. Континентальные кривые

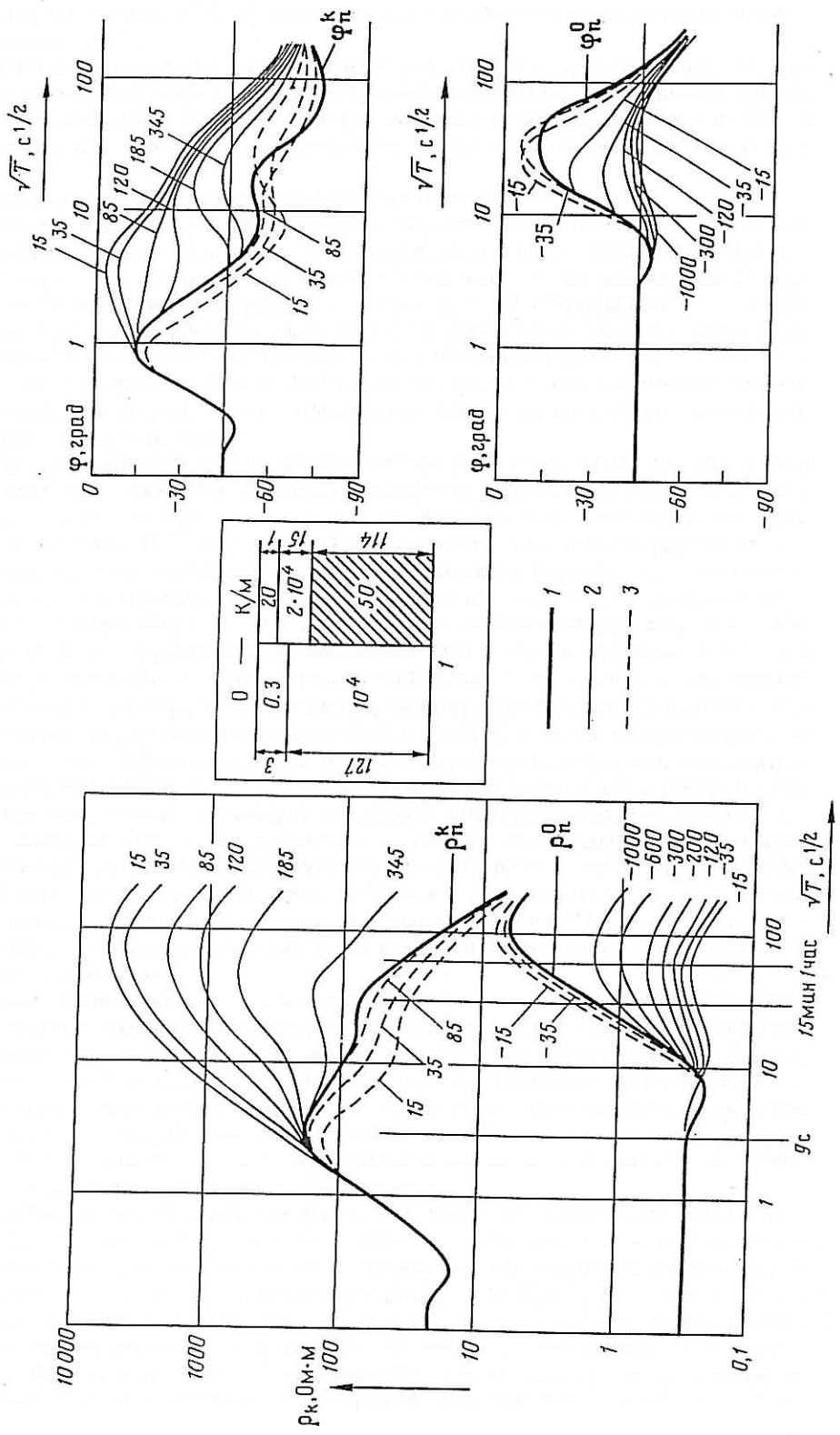


Рис. 2. Обозначения те же, что на рис. 1

ρ^{\parallel} и φ^{\parallel} на расстоянии 15 км от берега имеют отчетливые перегибы и минимумы, свидетельствующие о существовании коромантийного проводящего слоя. На расстоянии 100 км от берега кривые ρ^{\parallel} и φ^{\parallel} сливаются с локально-нормальными континентальными кривыми ρ_n^{\times} и φ_n^{\times} .

Этот анализ показывает, что ширина зоны, в которой МТ-кривые переходят от нормального океанического типа к нормальному континентальному, существенно зависит от поляризации поля. При H -поляризации она составляет 3000 км в океане и 750 км на континенте, а при E -поляризации сокращается до 35 км в океане и 100 км на континенте.

Рассмотрим полученные результаты с физической точки зрения.

Физика искажений МТ-кривых, Береговой эффект связан с асимметрией токов, индуцированных в океанических и континентальных слоях. Возьмем, например, периоды 15 мин и 1 ч. Из рис. 1 и 2 видно, что они относятся к восходящей ("литосферной") ветви океанических кривых ρ_n^0 и к нисходящей ("мантийной") ветви континентальных кривых ρ_n^{\times} . Очевидно, что вдали от берега океанический ток концентрируется в водной толще, т.е. на глубинах до 3 км, а континентальный ток — в низкоомной мантии, т.е. на глубинах больше 130 км. В прибрежной зоне асимметрия океанического и континентального токов сглаживается благодаря их кондуктивному или индуктивному взаимодействию.

Кондуктивное взаимодействие токов выражается в их перетекании из одного слоя в другой. Этот гальванический механизм действует при H -поляризации, когда токи текут вкрест берега. Он проявляется на низких частотах. Какие электрические цепи возникают в моделях О-К/к и О-К/м? Океанический ток, концентрирующийся в водной толще, частично просачивается через высокоомную литосферу в низкоомную мантию, и частично перетекает в осадочный чехол континента. Утечка в мантию создает дефицит тока в водной толще, ведущий к выполаживанию восходящих ветвей поперечных кривых ρ^{\perp} и φ^{\perp} . Перетекание океанического тока в континентальный осадочный чехол создает в нем избыток тока, порождающий ложные восходящие ветви кривых ρ^{\perp} и φ^{\perp} . Возвращаясь к рис. 1 и 2, мы видим, что в прибрежной зоне континента кривые ρ^{\perp} наследуют форму локально-нормальной кривой ρ_n^0 и таким образом отражают разрез океана. Этот эффект, известный под названием переноса формы, объясняется тем, что ток, перетекающий из водной толщи в осадочный чехол, несет с собой океаническую зависимость от частоты, которая экранирует влияние проводящих слоев в коре и мантии континента. Следуя [3], мы можем сказать, что осадочный чехол, подстилаемый высокоомной корой, является ловушкой для избыточного тока. Он удерживает избыточный ток, канализируя его вместе с МТ-кривыми океанического типа далеко за пределы прибрежной зоны. Лишь на значительном удалении от берега избыточный ток просачивается в проводящие слои коры и мантии и МТ-кривые нормализуются, отражая разрез континента.

Индуктивное взаимодействие токов осуществляется через их магнитное поле. Этот механизм действует при E -поляризации, когда токи текут вдоль берега. Он проявляется на средних частотах. Вблизи континента океаническое магнитное поле убывает, а электрическое поле в силу закона Ленца возрастает, увеличивая наклон восходящих ветвей продольных кривых ρ^{\parallel} и φ^{\parallel} . В прибрежной зоне континента магнитное поле возрастает, а электрическое поле в силу закона Ленца убывает, понижая среднечастотные ветви кривых ρ^{\parallel} и φ^{\parallel} . При удалении от берега аномальное магнитное поле затухает и продольные МТ-кривые нормализуются.

Кондуктивный и индуктивный механизмы действуют на существенно разных расстояниях [7]. Действие кондуктивного механизма определяется степенью гальванической связи между приповерхностными и глубинными проводящими слоями. Мерой гальванической связи является константа $g = \sqrt{S_1 R_2}$, где $S_1 = h_1 / \rho_1$ — интегральная проводимость приповерхностного слоя, а $R_2 = \rho_2 h_2$ — интегральное сопротивление среды между приповерхностными и глубинными проводящими слоями. Чем больше S_1 и R_2 , тем больше константа g и тем медленнее происходит перетекание избыточного тока, нормализующее поперечные МТ-кривые. Действие индуктивного механизма

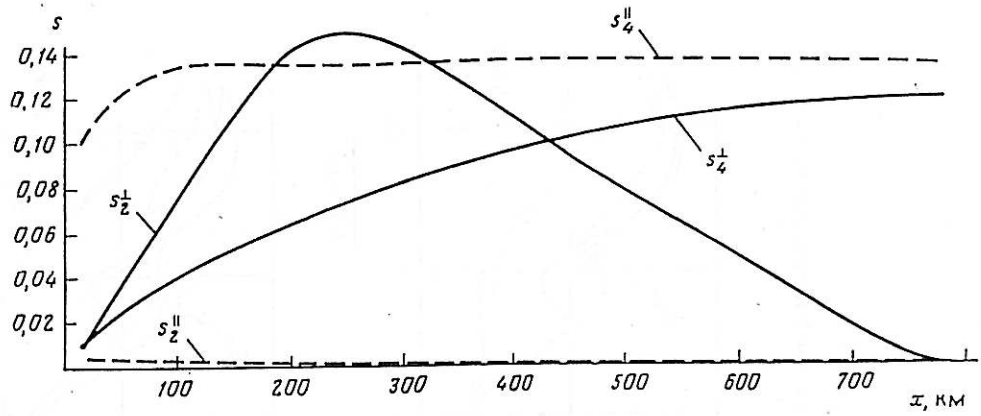


Рис. 3. Чувствительность континентальных кривых ρ^{\perp} и ρ^{\parallel} к изменению удельных сопротивлений ρ_2 и ρ_4 в модели О-К/к; чувствительность s_2 определена в интервале $T_1 = 1$ с, $T_2 = 1$ ч, чувствительность s_4 определена в интервале $T_1 = 9$ с, $T_2 = 15$ мин

определеняется степенью затухания магнитного поля. Мерой затухания является эффективная глубина проникновения поля $d = |Z^{\parallel}|/\omega\mu_0$, где Z^{\parallel} – продольный импеданс. Чем меньше d , тем быстрее нормализуются продольные МТ-кривые. Оценки, приведенные в [2, 3, 7–9], показывают, что в типичных континентальных ситуациях поперечные МТ-кривые нормализуются на расстояниях, исчисляемых многими сотнями километров, а для нормализации продольных МТ-кривых достаточно удалиться на расстояние порядка 50–100 км.

Очевидно, что в прибрежной зоне континента поперечные и продольные МТ-зондирования имеют различную чувствительность к изменению удельных сопротивлений коры и мантии. Этот важный вопрос мы рассмотрим в следующем разделе.

Чувствительность прибрежных МТ-зондирований. Чувствительность МТ-зондирования к изменению сопротивления i -того слоя можно оценить, осредняя изменения кажущихся сопротивлений в интервале периодов, несущих информацию об i -том слое. Используя логарифмические шкалы, получаем

$$s_i(x) = \frac{1}{\ln \frac{T_2}{T_1}} \int_{T_1}^{T_2} \left| \frac{\Delta \ln \rho_k(T, x)}{\Delta \ln \rho_i} \right| \frac{dT}{T},$$

где $\Delta \ln \rho_i$ – логарифмическое приращение удельного сопротивления i -того слоя, $\Delta \ln \rho_k$ – логарифмическое приращение кажущегося сопротивления, $\{T_1, T_2\}$ – интервал осреднения, x – расстояние от берега.

Вернемся к модели О-К/к и посмотрим, как разрешаются сопротивления верхней части коры (ρ_2) и верхней части мантии (ρ_4) в прибрежной зоне континента. На рис. 3 показаны графики $s_2^{\perp}(x)$ и $s_2^{\parallel}(x)$, полученные при изменении ρ_2 от $2 \cdot 10^4$ до $2 \cdot 10^3$ Ом · м, и графики $s_4^{\perp}(x)$ и $s_4^{\parallel}(x)$, полученные при изменении ρ_4 от 10^3 до 50 Ом · м. При $x > 750$ км поперечные МТ-кривые приближаются к нормальной кривой и имеют чувствительность почти такую же, как в одномерной модели, т.е. плохо разрешают ρ_2 и достаточно хорошо разрешают ρ_4 . Двигаясь к берегу, мы видим, как повышается s_2^{\perp} и понижается s_4^{\perp} . Повышение s_2^{\perp} объясняется тем, что в этой зоне избыточный ток просачивается через высокоомную кору и интенсивность утечки зависит от ρ_2 . Понижение s_4^{\perp} связано с тем, что усиливается экранирующее действие высокоомной коры. Вблизи берега чувствительности s_2^{\perp} и s_4^{\perp} падают почти до нуля. В этой зоне эффект просачивания выражен очень слабо и верхние слои мантии почти полностью экранируются. Что же касается продольных МТ-кривых, то на всем протяжении профиля они имеют чувст-

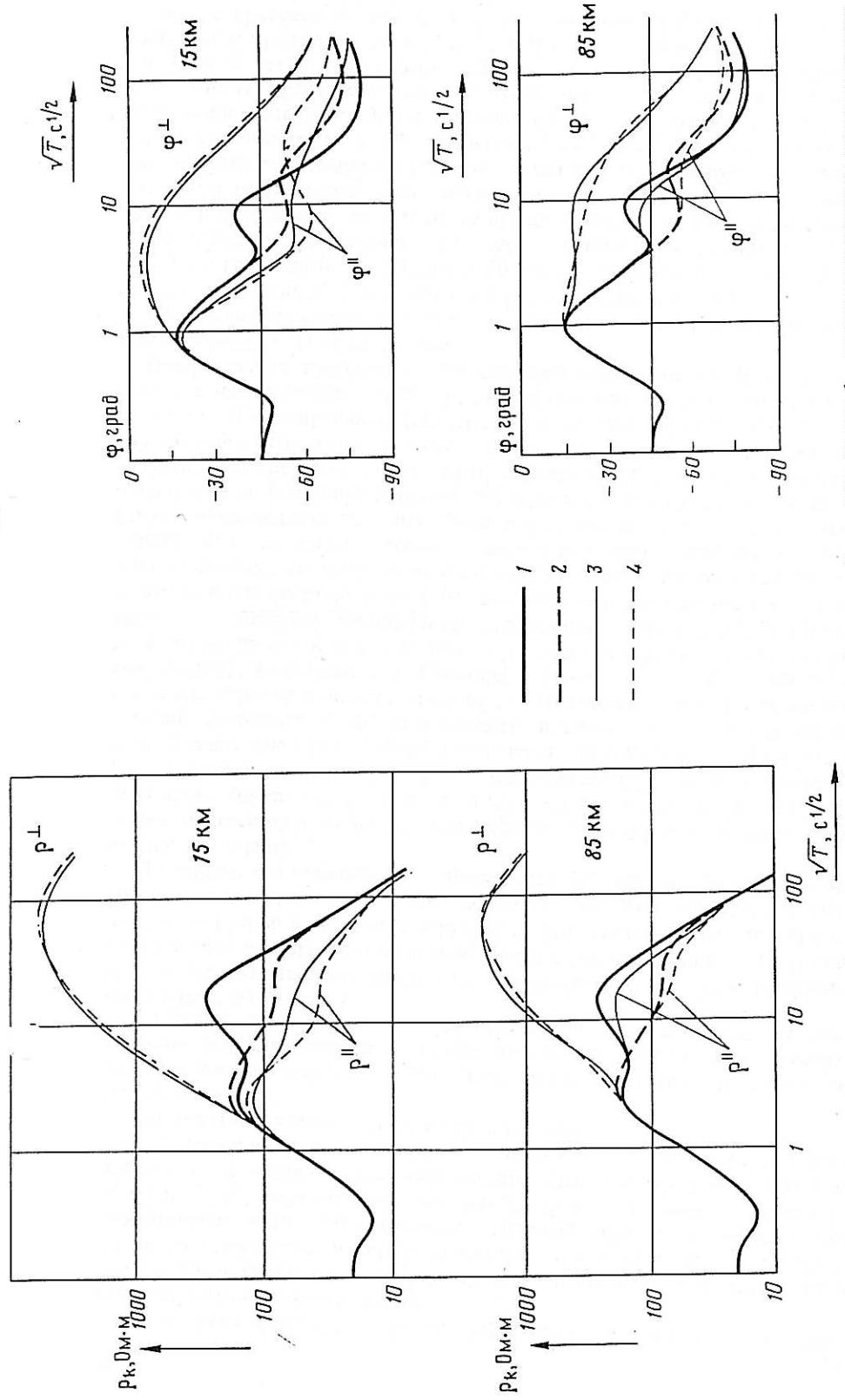


Рис. 4. Амплитудные и фазовые кривые МТЗ в прибрежной зоне континента; расстояние от берега 15 и 85 км, 1 – локально-нормальные кривые в модели О–К/к, 2 – в модели О–К/к, 3 – поисечные и продольные МТ-кривые в модели О–К/к, 4 – в модели О–К/к

вительность, примерно такую же, как в одномерной модели, т.е. плохо разрешают ρ_2 и достаточно хорошо разрешают ρ_4 .

Итак, в прибрежной зоне $s_4^\perp \ll s_4^{\parallel}$. Это свойство МТЗ иллюстрируется на рис. 4. Здесь изображены кривые $\rho^\perp, \varphi^\perp$ и $\rho^{\parallel}, \varphi^{\parallel}$, полученные в моделях О-К/к и О-К/м на расстояниях 15 и 85 км от берега океана. При $x = 15$ км обе модели дают поперечные МТ-кривые, которые практически сливаются. В этом смысле модели О-К/к и О-К/м являются эквивалентными. Эквивалентность моделей сохраняется и при $x = 85$ км; кривые ρ^\perp различаются на 5–8%, а кривые φ^\perp на 3–4°. Таким образом, мы можем сказать, что 20-кратное уменьшение удельного сопротивления верхнего слоя мантии лежит за пределами разрешающей способности поперечных МТ-кривых, полученных в довольно широкой прибрежной зоне. В то же время продольные МТ-кривые обеспечивают достаточно надежное разрешение этих двух существенно различных моделей. Уже при $x = 15$ км расхождение ρ^{\parallel} достигает 50–60%, а расхождение φ^{\parallel} составляет 8–10°. А при $x = 85$ км значения ρ^{\parallel} различаются в 2 раза, а значения φ^{\parallel} на 15°.

Мы завершаем модельный анализ и подходим к обсуждению принципов интерпретации прибрежных МТ-зондирований.

Интерпретация прибрежных МТ-зондирований. Для прибрежной зоны характерно развитие геологических структур, вытянутых вдоль берега, так что двумерная интерпретация МТ-зондирований кажется здесь вполне оправданной. Идя по этому пути, мы получаем поперечные (квазипоперечные) МТ-кривые, которые позволяют оценить сопротивление верхних слоев коры, однако плохо разрешают верхние слои мантии, и продольные (квазипродольные) МТ-кривые, которые слабо чувствительны к изменению сопротивлений верхних слоев коры, однако хорошо разрешают верхние слои мантии. Что мы знаем о точности двумерной аппроксимации вытянутых структур? Давно показано, что погрешности двумерной аппроксимации зависят от проводимости структур и поляризации поля [10]. Благоприятными являются низкоомные структуры (например, впадины, заполненные проводящими осадками), возбуждаемые H -поляризованным полем, и высокоомные структуры (например, поднятия кристаллического фундамента), возбуждаемые E -поляризованным полем. Если длина таких структур в несколько раз превышает их ширину, то точность двумерной интерпретации МТ-зондирований, выполненных по центральному профилю, может оказаться довольно высокой. Значительно хуже аппроксимируются низкоомные структуры, возбуждаемые E -поляризованным полем, и высокоомные структуры, возбуждаемые H -поляризованным полем. Достаточно сказать, что в таких ситуациях двумерная интерпретация обеспечивает приемлемую точность, если длина структур в несколько десятков раз превышает их ширину.

Мы видим, что поперечные и продольные МТ-кривые, получаемые при H - и E -поляризации (в ТМ- и ТЕ-моде), хорошо дополняют друг друга, характеризуя различные интервалы глубин и различные структуры. Это говорит о том, что для построения достаточно полной и достаточно надежной геоэлектрической модели прибрежной зоны необходима бимодальная интерпретация, объединяющая инверсию поперечных и продольных кривых МТЗ.

Алгоритм бимодальной интерпретации должен быть сконструирован так, чтобы наиболее надежные элементы модели имели максимальный вес, а итерационный цикл был достаточно коротким. Эти идеи лежат в основе алгоритма, предложенного В.И. Дмитриевым.

Алгоритм Дмитриева состоит из трех уровней.

1. *Анализ поперечных и продольных кривых МТЗ.* На этом уровне обобщается априорная геолого-геофизическая информация: выполняется качественный анализ кривых $\rho^\perp, \varphi^\perp$ и $\rho^{\parallel}, \varphi^{\parallel}$; определяется тип геоэлектрического разреза океана и континента; локализуются и классифицируются основные структуры океана и континента; составляется двумерная интерпретационная модель О-К и выбирается начальное распределение $\rho_0(x, z)$; с помощью пробных пленочных моделей оценивается погрешность двумерной аппроксимации.

2. *Инверсия продольных кривых МТЗ, стабилизированная близостью к начальному*

распределению $\rho_0(x, z)$. На этом уровне формируются параметры коровых и мантийных слоев. Инверсия сводится к минимизации сглаживающего функционала

$$\Phi_{\alpha}^{\parallel} = \int \int_{x T} \left\{ p_1^{\parallel}(T, x) \left| \ln \frac{\rho^{\parallel}(T, x)}{\rho_t^{\parallel}(T, x)} \right|^2 + p_2^{\parallel}(T, x) |\varphi^{\parallel}(T, x) - \varphi_t^{\parallel}(T, x)|^2 \right\} \frac{dT}{T} dx + \\ + \alpha \int \int_{xz} q^{\parallel}(x, z) |\rho(x, z) - \rho_0(x, z)|^2 dz dx.$$

где ρ_t^{\parallel} и φ_t^{\parallel} – теоретические значения кажущихся сопротивлений и фаз для модели $\rho(x, z)$, возбуждаемой E -поляризованным полем, p_1^{\parallel} и p_2^{\parallel} – веса, отражающие надежность и информативность различных участков МТ-кривых, q^{\parallel} – вес, определяющий степень доверия к различным элементам начального распределения $\rho_0(x, z)$, α – параметр регуляризации, значение которого находится из условия оптимальности (если погрешность двумерной аппроксимации оценена) или квазиоптимальности [11]. Итерационный цикл завершается приближенным решением $\tilde{\rho}_{\parallel}(x, z)$.

3. Инверсия поперечных кривых МТЗ, стабилизированная близостью к приближенному решению $\tilde{\rho}_{\parallel}(x, z)$. На этом уровне уточняются сопротивления океанической литосферы и строение верхних слоев континентальной коры. Инверсия сводится к минимизации сглаживающего функционала

$$\Phi_{\alpha}^{\perp} = \int \int_{x T} \left\{ p_1^{\perp}(T, x) \left| \ln \frac{\rho^{\perp}(T, x)}{\rho_t^{\perp}(T, x)} \right|^2 + \right. \\ \left. + p_2^{\perp}(T, x) |\varphi^{\perp}(T, x) - \varphi_t^{\perp}(T, x)|^2 \right\} \frac{dT}{T} dx + \\ + \alpha \int \int_{xz} q^{\perp}(x, z) |\rho(x, z) - \tilde{\rho}_{\parallel}(x, z)|^2 dz dx,$$

где ρ_t^{\perp} и φ_t^{\perp} – теоретические значения кажущихся сопротивлений и фаз для модели $\rho(x, z)$, возбуждаемой H -поляризованным полем, p_1^{\perp} и p_2^{\perp} – веса, отражающие надежность и информативность различных участков МТ-кривых, q^{\perp} – вес, определяющий степень надежности приближенного решения $\tilde{\rho}_{\parallel}(x, z)$, α – параметр регуляризации, который находится из условия оптимальности или квазиоптимальности. Максимальный вес q^{\perp} придается высокоменным структурам в осадочном чехле и проводящим слоям в континентальной коре и мантии. Итерационный цикл завершается приближенным решением $\tilde{\rho}_{\perp}(x, z)$. Точность полученного решения оценивается по невязке продольных кривых МТЗ. Вычисляется функционал невязки

$$\Phi^{\parallel} = \int \int_{x T} \left\{ p_1^{\parallel}(T, x) \left| \ln \frac{\rho^{\parallel}(T, x)}{\tilde{\rho}_t^{\parallel}(T, x)} \right|^2 + p_2^{\parallel}(T, x) |\varphi^{\parallel}(T, x) - \tilde{\varphi}_t^{\parallel}(T, x)|^2 \right\} \frac{dT}{T} dx,$$

$\tilde{\rho}_t^{\parallel}$ и $\tilde{\varphi}_t^{\parallel}$ – теоретические значения кажущихся сопротивлений и фаз для модели $\tilde{\rho}_{\perp}(x, z)$, возбуждаемой E -поляризованным полем. Если невязка Φ^{\parallel} достаточно мала (например, не превышает погрешности двумерной аппроксимации), то модель $\tilde{\rho}_{\perp}(x, z)$ рассматривается как окончательный результат бимодальной интерпретации. При большой невязке Φ^{\parallel} мы можем перейти к внешним итерациям, возвращаясь на второй уровень и стабилизируя инверсию кривых $\rho^{\parallel}, \varphi^{\parallel}$ близостью к $\tilde{\rho}_{\perp}(x, z)$. Внешний итерационный цикл состоит из последовательных возвращений на второй уровень и переходов на третий уровень – решение, полученное на третьем уровне, дает начальное приближение для второго уровня. Итерации завершаются, когда невязка Φ^{\parallel} становится достаточно малой. Если невязка Φ^{\parallel} во внешнем итерационном цикле не уменьшается, то это свидетельствует о противоречии между продольными и поперечными кривыми МТЗ. Ограничившись интерпретацией только поперечных МТ-кривых, мы рискуем получить грубо неверное представление о коровых и коромантийных проводниках, так как ложные восходящие ветви прибрежных кривых ρ^{\perp} и φ^{\perp} могут увести инверсию в сторону завышенных сопротивлений.

Авторы признательны Л.Л. Ваньяну за многочисленные дискуссии и В.И. Дмитриеву за внимание к работе и разрешение включить в нее описание предложенного им алгоритма бимодальной интерпретации.

Список литературы

1. Бердичевский М.Н., Жданов О.Н., Жданов М.С. Глубинная геоэлектрика в океане. Результаты исследований по международным геофизическим проектам. М.: Наука, 1989. 78 с.
2. Барашков А.С., Яковлев А.Г. О береговом эффекте в методе МТЗ // Изв. АН СССР. Физика Земли. 1989. № 5. С. 103–107.
3. Mackie R.L., Bennett B.R., Madden T.R. Long-period magnetotelluric measurements near the central California coast // Geophysical J. 1988. V. 95. P. 181–194.
4. Wannamaker P.E., Booker J.R. et al. Magnetotelluric Observations Across the Juan de Fuca Subduction System in the EMSLAB Project // J. Geophys. Res. 1989. V. 94. № B10. P. 14111–14125.
5. Wannamaker P.E., Booker J.R. et al. Resistivity Cross Section Through the Juan de Fuca Subduction System and its Tectonic Implications // J. Geophys. Res. 1989. V. 94. № B10. P. 14127–14144.
6. Методы моделирования электромагнитных полей / Под ред. В.И. Дмитриева. М.: Наука, 1990. 199 с.
7. Авдеев Д.Б., Годнева Г.С., Зингер Б.Ш., Файнберг Э.Б. Пространственная фильтрация локальных искажений магнитотеллурического поля. Прямые и обратные задачи геоэлектрики. М.: Наука, 1980. С. 62–69.
8. Бердичевский М.Н., Яковлев А.Г. Аналитическая модель магнитотеллурического зондирования искаженного эффектом S // Изв. АН СССР. Физика Земли. 1989. № 9. С. 82–88.
9. Ranganayaki R.P., Madden T.R. Generalized thin sheet analysis in magnetotellurics // Geophys. J. Roy. Astron. Soc. 1980. V. 60. P. 445–457.
10. Berdichevsky M.N., Dmitriev V.I. Basic principles of interpretation of magnetotelluric sounding curves // Geoelectric and Geothermal Studies. Budapest. 1976. P. 165–222.
11. Тихонов А.Н., Арсенин В.Я. Методы решения некорректных задач. М.: Наука, 1979. 285 с.

Московский университет
им. М.В. Ломоносова

Поступила в редакцию
21.01.92